

## МОДЕЛИРОВАНИЕ ПРОЦЕССОВ УПРУГОПЛАСТИЧЕСКОГО ДЕФОРМИРОВАНИЯ СТАЛИ ПО МНОГОЗВЕННЫМ КРИВОЛИНЕЙНЫМ ТРАЕКТОРИЯМ ДЕФОРМИРОВАНИЯ

**Зубчанинов В.Г., д.т.н., проф., Алексеев А.А., к.т.н., доц.,  
Гультяев В.И., д.т.н., проф.**

*Тверской государственный технический университет,  
г. Тверь, Российская Федерация*

Реферат. В статье представлены данные эксперимента по сложной траектории деформирования (растяжение с кручением – Р-М опыт) в виде плоской кривой, состоящей из пяти участков (звеньев), в том числе постоянной кривизны. Для верификации математической модели результаты теоретических расчётов сравниваются с экспериментальными данными, полученными авторами на экспериментальном комплексе СН-ЭВМ.

Ключевые слова: пластичность, траектория деформирования, экспериментальные данные, моделирование процесса деформирования.

В теории процессов для численного моделирования упругопластического деформирования материалов в девиаторном пространстве А.А. Ильюшина  $E_s$  по сложным плоским траекториям с аналитическими криволинейными участками используются определяющие соотношения [1], учитывающие скалярные и векторные свойства материалов

$$\frac{d\bar{\sigma}}{ds} = M_1 \frac{d\bar{\varepsilon}}{ds} + \left( \frac{d\sigma}{ds} - M_1 \cos \vartheta_1 \right) \frac{\bar{\sigma}}{\sigma}, \quad \frac{d\vartheta_1}{ds} + \kappa_1 = -\frac{M_1}{\sigma} \sin \vartheta_1, \quad (1)$$

где  $\bar{\sigma}$ ,  $\bar{\varepsilon}$  – векторы формоизменения напряжений и деформаций соответственно,  $s$  – длина дуги траектории деформирования;  $\vartheta_1 = \vartheta_1(s, \kappa_1, \vartheta_1^0)$  – угол сближения, являющийся функционалом процесса векторных свойств материала, характеризующий в каждой точке траектории деформирования направление вектора  $\bar{\sigma}$ ;  $\kappa_1$  – кривизна траектории;  $\vartheta_1^0$  – угол излома в начальной точке аналитического участка траектории;  $\sigma = \sigma(s, \kappa_1, \vartheta_1^0)$  – функционал процесса скалярных свойств материала;  $M_1$ ,  $\frac{d\sigma}{ds}$  – функционалы процесса деформирования, зависящие от параметров сложного нагружения  $s$ ,  $\kappa_1$ ,  $\vartheta_1^0$ .

К основным уравнениям математической модели теории процессов для плоских траекторий относятся уравнения (1) и зависящие от всех указанных выше параметров сложного нагружения универсальные аппроксимации функционалов

$$\sigma(s) = \Phi(s, \vartheta_1^0, \kappa_1) = \Phi(s) + Af_0^p \Omega - B\Delta s \kappa_1 - \Delta\sigma,$$

$$\frac{d\sigma}{ds} = \frac{d\Phi}{ds} + Af_0^p \frac{d\Omega}{ds} - B \frac{d}{ds}(\Delta s \kappa_1),$$

(2)

$$M_1 = 2G_p + (2G - 2G_p^0) f^q, \quad (3)$$

где  $\Delta s = s - s_K^T$  – приращение дуги траектории деформирования;  $s_K^T$  – длина дуги в точке излома траектории или изменения ее кривизны;  $\Phi(s)$  – универсальная функция деформирования Одквиста–Ильюшина для процессов, близких к простому нагружению, без учета их истории;  $\Delta\sigma = \Phi(s_K^T) - \sigma_K^T$  – разница между значениями универсальной функции Одквиста–Ильюшина и реальным значением модуля вектора напряжений в точке смены

участков траектории деформирования;

$$\Omega = -\left[\gamma\Delta s e^{-\gamma\Delta s} + b(1 - e^{-\gamma\Delta s})\right], \quad f = f(\vartheta_1) = \frac{1 - \cos \vartheta_1}{2} \quad (4)$$

– функции сложного нагружения;  $A, B, b, \gamma, p, q$  – экспериментально определяемые параметры аппроксимаций.

Экспериментальное исследование проведено на автоматизированном расчетно-экспериментальном комплексе СН-ЭВМ, реализующем трехпараметрическое воздействие на образец (осевое растяжение-сжатие, кручение и внутреннее давление). В качестве образца использована тонкостенная цилиндрическая оболочка из стали Ст3 в состоянии поставки, имеющие в рабочей части: длину  $l=110$  мм, толщину  $h=1$  мм и диаметр срединной поверхности  $d=31$  мм. Программа эксперимента при жестком нагружении представляет собой в девiatorном пространстве деформаций  $\mathcal{E}_1 - \mathcal{E}_3$  плоскую кривую, содержащую участки постоянной кривизны (рис. 1).

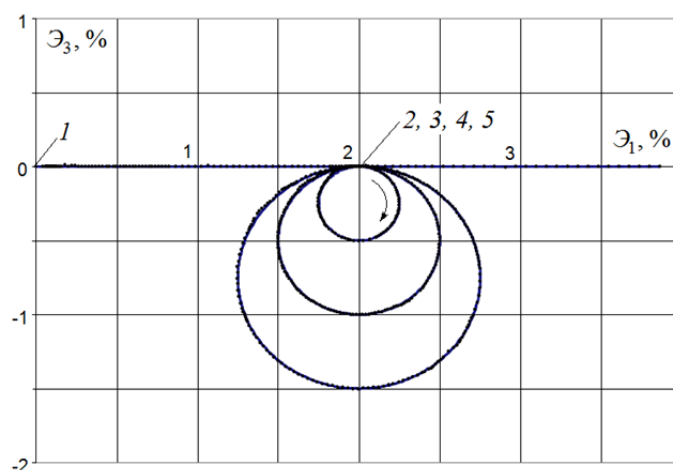


Рисунок 1 – Программа эксперимента

Расчетные и экспериментальные результаты приводятся в векторном представлении напряжений и деформаций А.А. Ильюшина [1–2]. На рисунке 2 приведен отклик на реализованную траекторию деформирования в плоскости  $S_1 - S_3$  девiatorного пространства напряжений, на рисунке 3 приведены диаграммы  $\sigma - s$ . На рисунках 5, 6 приведены локальные диаграммы деформирования. Цифрами 1, 2, 3, 4, 5 на рисунках 1–3 обозначены точки начала соответствующих участков реализованной траектории. Опытные данные на рисунках обозначены точками, а модельные расчётные данные – сплошной линией.

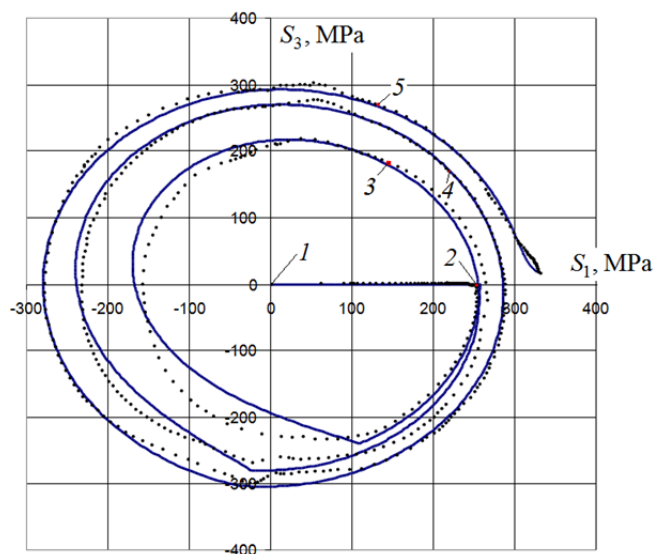


Рисунок 2 – Отклик по напряжениям

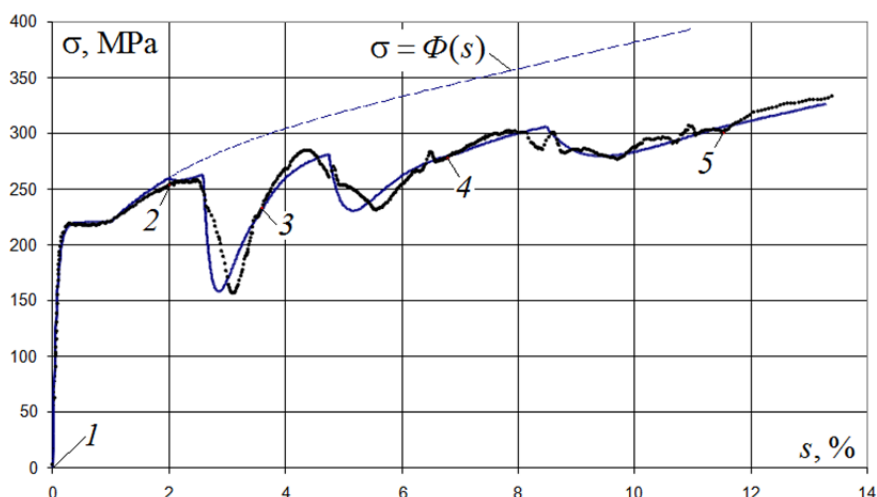


Рисунок 3 – Диаграмма деформирования  $\sigma$ - $s$

Видно качественное и достаточное для практических расчётов количественное совпадение опытных и расчетных данных по предложенной математической модели для реализованной траектории деформирования, что говорит о правильности моделирования процесса сложного упругопластического деформирования материала. Ранее варианты используемой модели теории процессов использованы для описания процессов деформирования ломаных прямолинейных траекторий [3–4], а также траекторий с криволинейными участками [5–7].

#### Список использованных источников

1. Зубчанинов, В. Г. Механика процессов пластических сред / В. Г. Зубчанинов. М.: Физматлит, 2010. – 352 с.
2. Ильюшин, А. А. Труды (1946-1966). Т. 2. Пластичность. / А. А. Ильюшин – М.: Физматлит, 2004. – 480 с.
3. Зубчанинов, В. Г. Численное моделирование процессов сложного упругопластического деформирования стали по двузвенным ломаным траекториям / В. Г. Зубчанинов, А. А. Алексеев, В. И. Гулятьев // Проблемы прочности и пластичности. – 2014. – Т. 76. – № 1. – С. 18–25.
4. Зубчанинов, В. Г. Моделирование процессов упругопластического деформирования материалов по многозвенным кусочно-ломаным прямолинейным траекториям / В. Г. Зубчанинов, А. А. Алексеев, В. И. Гулятьев // Вестник Пермского национального исследовательского политехнического университета. Механика. – 2017. – № 3. – С. 203–215. DOI: 10.15593/perm.mech/2017.3.12
5. Зубчанинов, В. Г. Математическое моделирование процессов пластического деформирования материалов по сложным плоским траекториям / В. Г. Зубчанинов, А. А. Алексеев, Е. Г. Алексеева // Materials Physics and Mechanics (MPM) – Т. 24. – № 2. – 2015. – С. 107–118.
6. Зубчанинов, В. Г. Проверка постулата изотропии и численное моделирование процессов деформирования материалов на сложных гладких траекториях / В. Г. Зубчанинов, А. А. Алексеев, Е. Г. Алексеева // Materials Physics and Mechanics. – 2016. – Т. 29. – № 2. – С. 150–157.
7. Zubchaninov, V. G. Experimental verification of postulate of isotropy and mathematical modeling of elastoplastic deformation processes following the complex angled nonanalytic trajectories / V. G. Zubchaninov, A. A. Alekseev, E. G. Alekseeva, V. I. Gultiaev // Materials Physics and Mechanics. – 2017. Vol. 32. № 3. P. 298-304. DOI: 10.18720/MPM.3232017\_10.